



IMARPE
INSTITUTO DEL MAR DEL PERÚ

SIOFEN SERVICIO DE INFORMACIÓN OCEANOGRÁFICA
DEL FENÓMENO EL NIÑO

Boletín Semanal Oceanográfico y Biológico-Pesquero

Año 11, N° 07

Semana 07: 09 - 15 de febrero de 2026

RESUMEN

» La anomalía semanal de la temperatura superficial del mar (TSM) en la región Niño 3.4 ascendió a $-0,29$ °C. En la región Niño 1+2, la anomalía continuó incrementándose hasta $+0,73$ °C, asociado a una mayor proyección de la isoterma de 25 °C y a una mayor influencia de las Aguas Tropicales Superficiales (ATS) hasta Punta Falsa. Estos cambios determinaron anomalías positivas entre $+1$ y $+2$ °C y un incremento térmico de hasta 2 °C respecto a la semana anterior (Figura 1, 4 y 5b). Hacia el sur, dentro de las 60 mn costeras, continuaron presentes condiciones neutras con núcleos fríos entre Huanchaco-Callao ($-1,8$ °C) y al sur de Pisco ($-2,3$ °C), asociados al afloramiento de las aguas costeras frías (ACF) (Figuras 4, 6d y 11b). En sectores oceánicos al sur de Callao, destacó la permanencia del calentamiento anómalo aunque con una menor intensidad que la semana previa, debido a la presencia de vientos del sudeste moderados a fuertes con anomalías positivas. El Anticiclón del Pacífico Sur (APS) se mantuvo al oeste de su posición habitual ($107,5^{\circ}\text{W}-40^{\circ}\text{S}$) (Figuras 2, 3 y 6c). Por otro lado, se detectan áreas con condiciones de ola de calor marina (OCM) que alcanzan cerca de 40,000 Km², especialmente frente a la costa central y sur (Figura 7).

» A 17 mn de Punta Falsa y 40 mn de San José se registraron condiciones cálidas con anomalías de hasta $+4$ °C y $+2$ °C sobre los 30 m, asociadas a la presencia de Aguas Ecuatoriales Superficiales (AES) (Figura 10). Hacia el sur, a nivel superficial las condiciones cálidas y frías estuvieron limitadas al norte y sur de Puerto Morín, respectivamente (Figura 8). En la columna de agua y sobre los 150 m, frente a Chicama (Figura 9a) se detectaron anomalías de hasta $+2$ °C dentro de las 45 mn en los primeros 40 m, evidenciando el ingreso inusual de las AES dentro de las 15 mn en las capas más someras y la profundización de la isoterma de 15 °C desde los 40 a 90 m. Fuera de las 45 mn, persisten condiciones frías focalizadas entre los 10 y 70 m. Dentro de las 60 mn de Salaverry (Figura 9b) y Chimbote (Figura 9c), persistieron anomalías entre -1 y -2 °C sobre los 80 m, aunque sobre los 20 m frente a Salaverry se detectó un núcleo puntual de leve calentamiento ($+1$ °C). Por debajo de los 80 m, entre Chicama y Chimbote predominaron condiciones neutras.

» En la región sur, la disponibilidad del recurso anchoveta *Engraulis ringens* se mantuvo entre Mollendo y Morro Sama dentro de las 10 mn y con predominio de juveniles. La anomalía del factor de condición (AFC) de la anchoveta presentó un valor negativo sin efecto, lo cual indicó una condición somática acorde a la temporada (Figura 11).

PRONÓSTICO

» De acuerdo con el modelo MERCATOR, en la región Niño 1+2 se espera que continúen las anomalías positivas de TSM hasta alcanzar $+1,2$ °C hasta el 25 de febrero (Figura 12).

» Del 17 al 22 de febrero del 2026, se prevé que la Velocidad del Viento (VV) varíe entre el rango moderado a fuerte en el sector oceánico frente a la mayor parte de la costa entre Paita y San Juan. En el sector oceánico centro y norte persistirían anomalías negativas durante casi todo el periodo, mientras que en el sector oceánico sur predominarían anomalías positivas. En la franja costera centro y norte las anomalías alternarían entre negativas y cercanas a cero; hacia la costa sur dominarían las anomalías negativas (Figura 13).

» Las observaciones y los modelos indican el arribo de una onda Kelvin cálida (modo 1) y otra de modo 2 a la costa sudamericana en marzo y abril/mayo, respectivamente (Figuras 6 a, b, 14).



PERÚ

Ministerio
de la Producción



PREMIO 2018
BUENAS PRÁCTICAS
EN GESTIÓN PÚBLICA

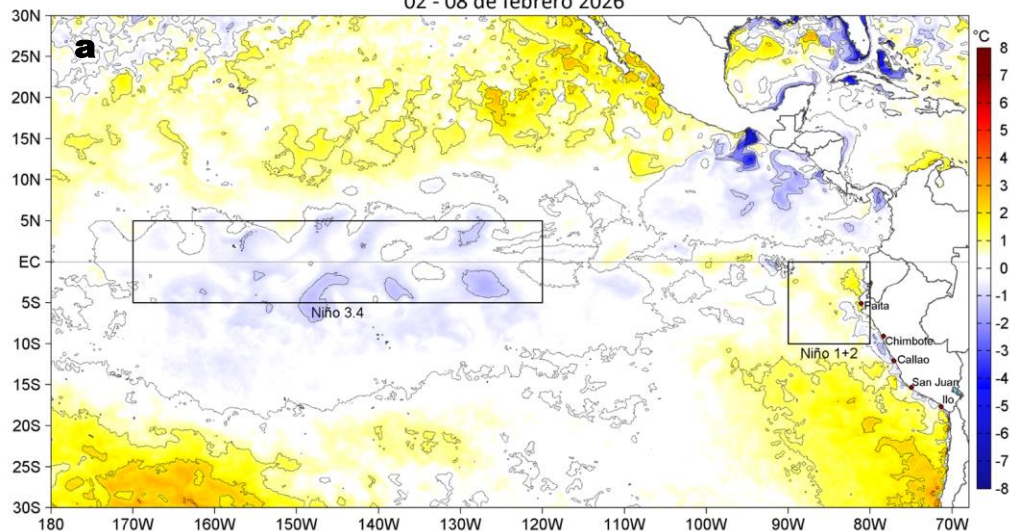


DGIOCC
Dirección General de Investigaciones
en Oceanografía y Cambio Climático

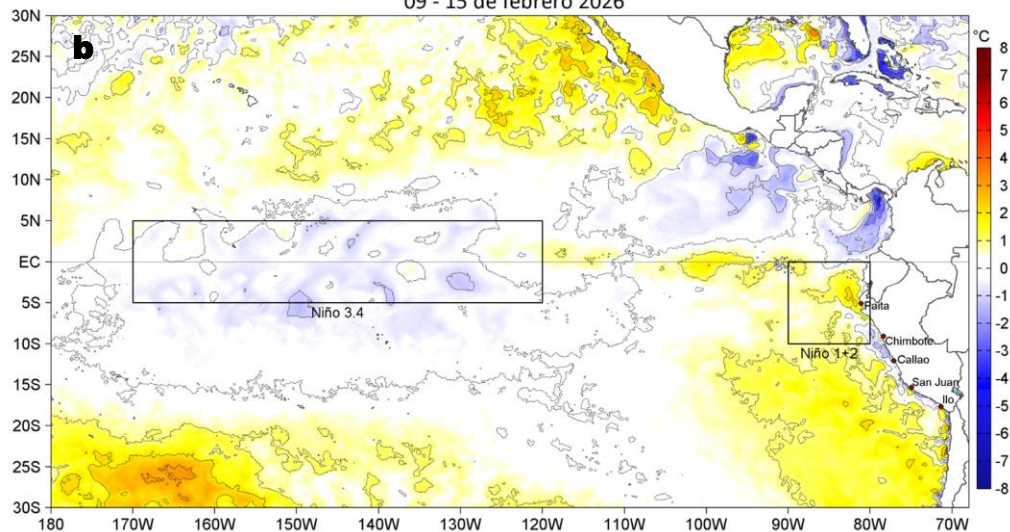


DGIRP
Dirección General de Investigaciones
de Recursos Pelágicos

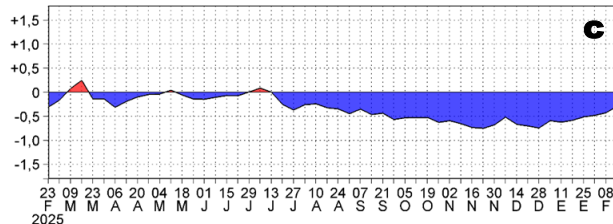
Anomalías de la Temperatura Superficial del Mar (°C)
02 - 08 de febrero 2026



Anomalías de la Temperatura Superficial del Mar (°C)
09 - 15 de febrero 2026



ATSM REGION NIÑO 3.4



ATSM REGION NIÑO 1+2

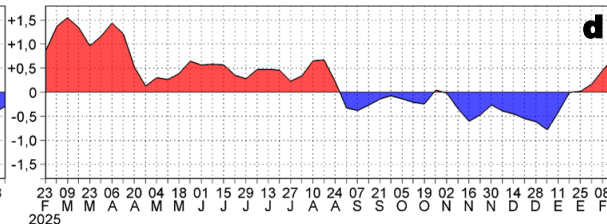


Figura 1. Anomalías promedio de la temperatura superficial del mar (TSM, °C) en el océano Pacífico tropical del 02 al 08 de febrero (a) y del 09 al 15 de febrero (b) del 2026, así como la variación del promedio semanal durante el último año para la región Niño 3.4 (c) y la región Niño 1+2 (d). Las regiones Niño 3.4 y Niño 1+2 en los sectores central y oriental del océano, respectivamente, están delimitadas con una línea de color gris. Datos: OSTIA-UKMO-L4-GLOB-v2.0 (UK Met Office, 2012; Donlon et al, 2012). Climatología: 1991-2020.

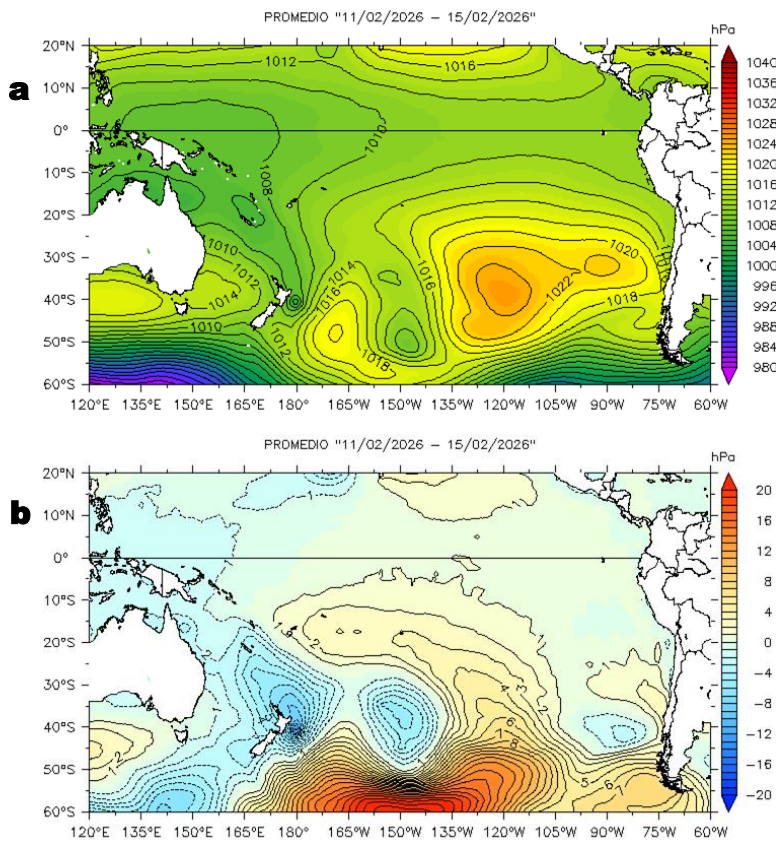


Figura 2. Distribución espacial promedio de la: a) Presión atmosférica (hPa) y b) anomalías de la Presión atmosférica (hPa) en el Pacífico Tropical del 11 al 15 de febrero del 2026.

Fuente de los datos: NCEP/NOAA. Climatología: 1991-2020.

El Anticiclón del Pacífico Sur (APS) se encontró al oeste de su posición habitual (107.5°W-40°S), con un valor de 1026,9 hPa en su núcleo.

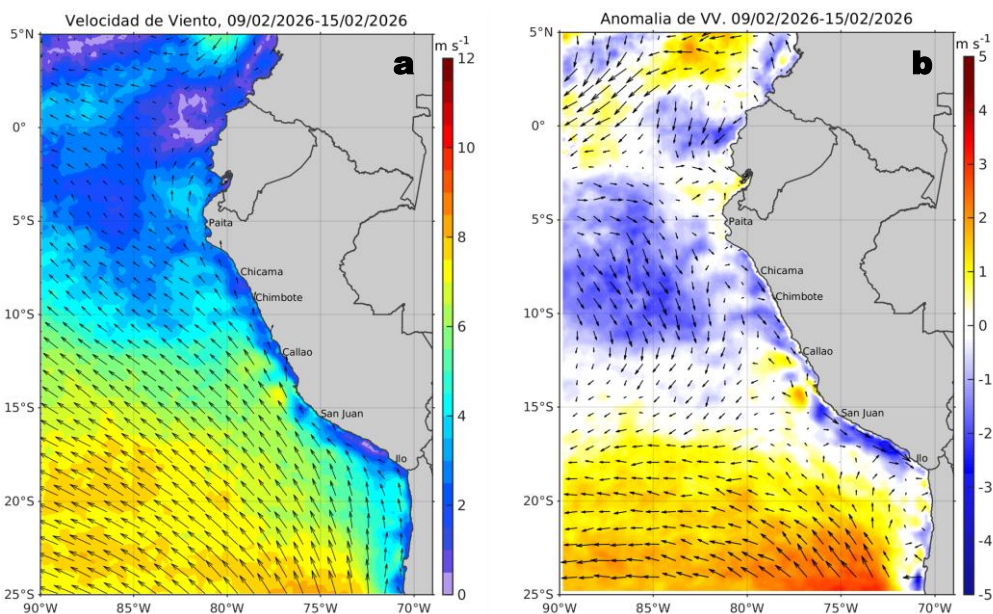


Figura 3. Distribución espacial promedio de: a) la velocidad (m/s) y dirección del viento (°) y b) anomalías de la velocidad (m/s) y dirección del viento (°) frente a la costa peruana del 09 al 15 de febrero del 2026. La velocidad del viento y su anomalía se presentan en matices de colores a la derecha. La dirección del viento y su anomalía se presentan con flechas. Fuente de los datos: CMEMS. Climatología: 2000-2020.

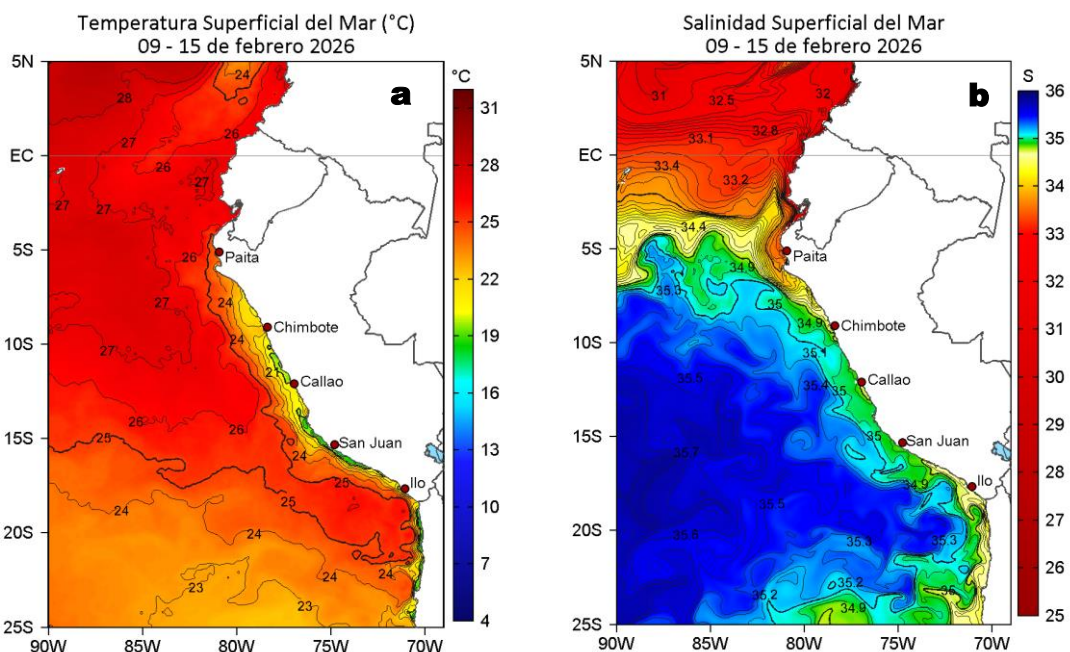


Figura 4. Distribución espacial promedio de la: a) Temperatura superficial del Mar (TSM, °C) y b) Salinidad superficial del mar (SSM) del 09 al 15 de febrero del 2026. Datos: OSTIA-UKMO-L4-GLOB-v2.0 (UK Met Office, 2012; Donlon et al, 2012) para (a) y del GLOBAL_ANALYSISFORECAST_PHY_001_024 (Lellouche, J. M. et al, 2013) para (b).

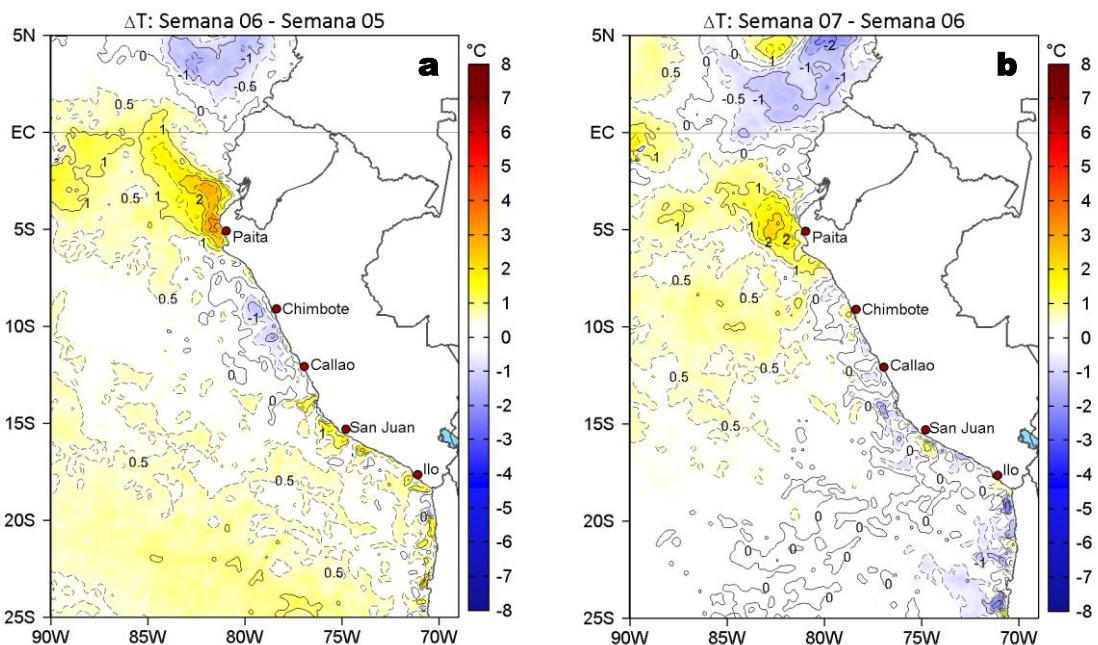


Figura 5. Variación semanal de la TSM (°C) en el océano Pacífico tropical oriental entre: a) sexta (02 - 08 de febrero) y quinta (26 de enero - 01 de febrero) semana de 2026 y b) séptima (09 - 16 de febrero) y sexta (02 - 08 de febrero) semana de 2026. Los mapas, que indican el grado de calentamiento o enfriamiento de una semana a otra, provienen de OSTIA-UKMO-L4-GLOB-v2.0 (UK Met Office, 2012; Donlon et al, 2012).

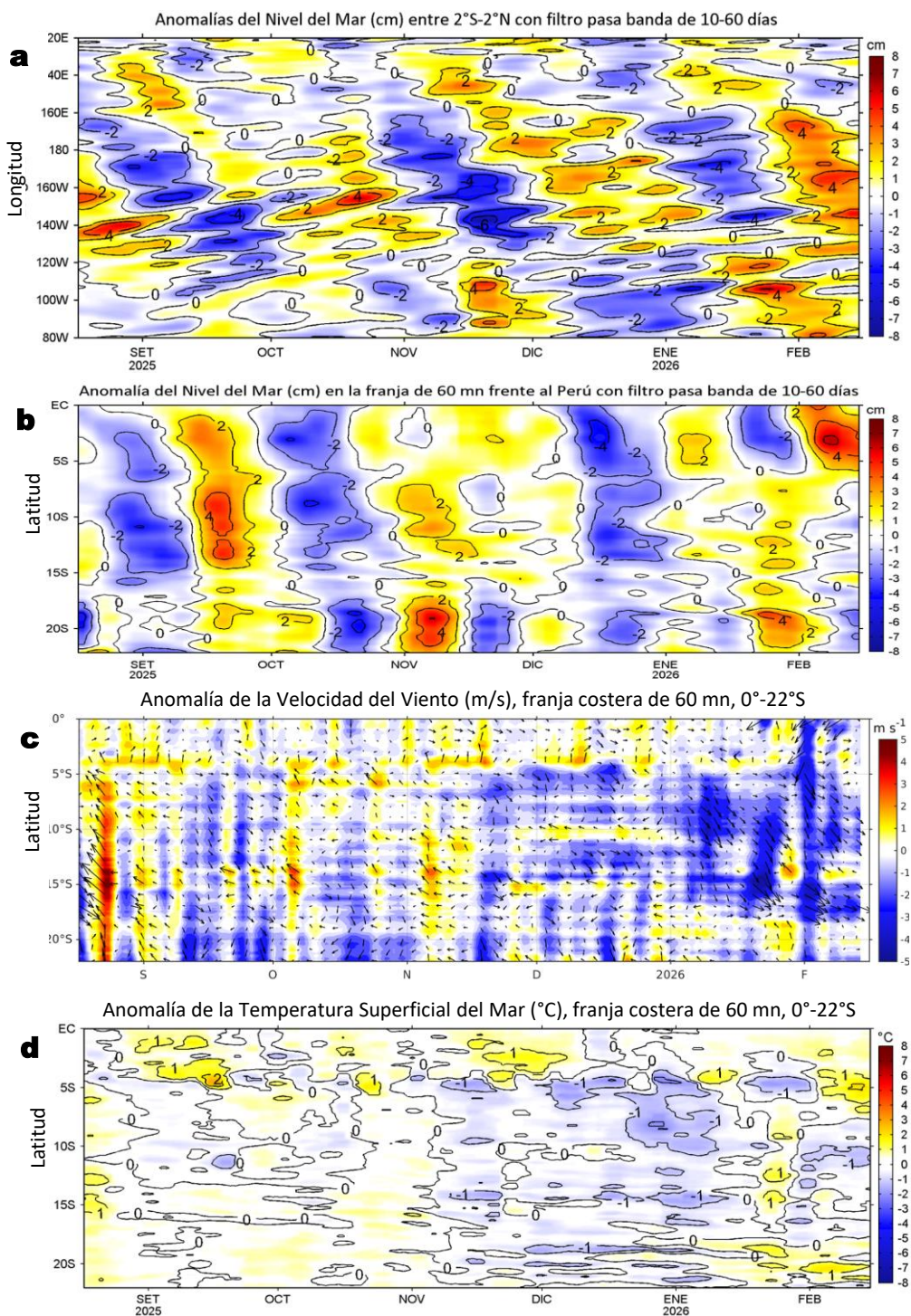


Figura 6. Evolución diaria de a) las anomalías del nivel del mar (cm) con filtro pasa banda de 10-60 días para la franja de 2°S-2°N en el Pacífico ecuatorial y b) la franja de 60 mn adyacente a la costa entre el ecuador geográfico y 22°S, así como para las anomalías de la c) velocidad del viento (m/s) y d) temperatura superficial del mar (°C); actualizadas al 15 de febrero del 2026. Datos: CMEMS (a, b y c) y OSTIA-UKMO-L4-GLOB-v2.0 para (d). Climatología: 1993-2020 (a y b), 2000-2020 (c) y 1991-2020 (d).

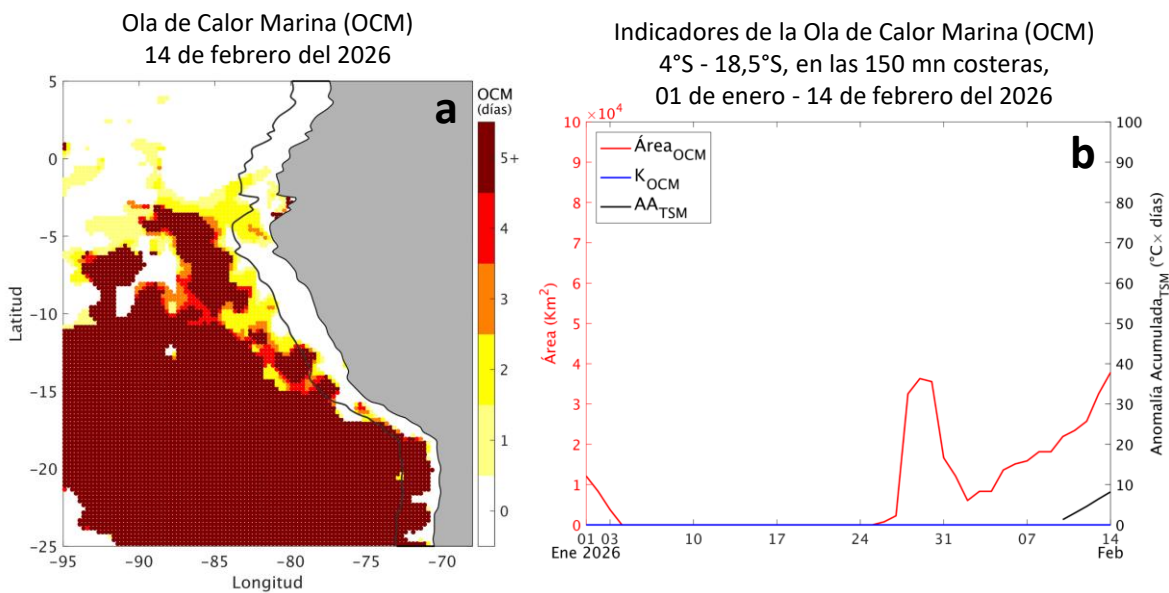


Figura 7. a) Distribución espacial de la cobertura de la ola de calor marina (OCM, Hobday et al., 2016) entre los 5°N y 25°S, y 70° W y 95°W para el 14 de febrero del 2026; la línea paralela a la costa demarca la distancia de 150 mn y la escala de color indica el número de días en los cuales la TSM supera el percentil 90 de los datos diarios históricos, usando el período 1982-2011 como referencia (Pietri et al., 2021). b) Series de tiempo de los indicadores de OCM para la zona entre los 4°S y 18,5°S dentro de las 150 mn costeras: área en condición de OCM (Área_{OCM} , $\times 10^4 \text{ Km}^2$; rojo); área en condición de OCM donde la $\text{ATSM} > +4 \text{ }^\circ\text{C}$ (K_{OCM} , Km^2 ; azul); y anomalía térmica acumulada en el área (AA_{TSM} , $^\circ\text{C} \times \text{días}$; negro). Al 14 de febrero, la condición de OCM presenta una anomalía acumulada de 8,18 $^\circ\text{C} \times \text{días}$. Fuente: OISST 2.1.

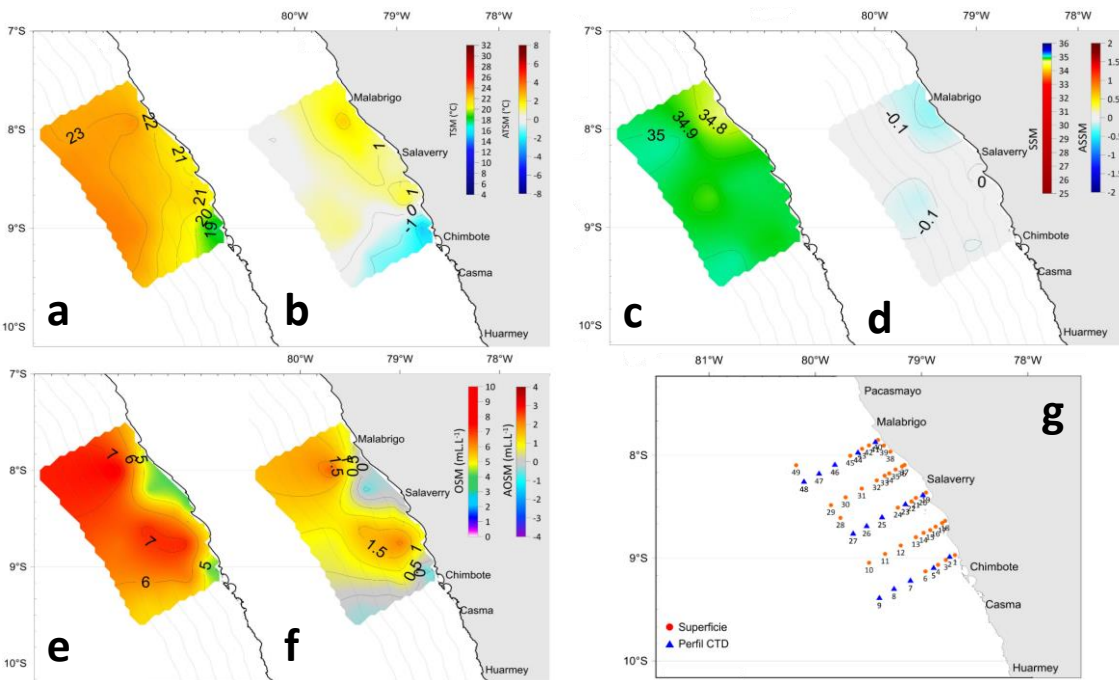
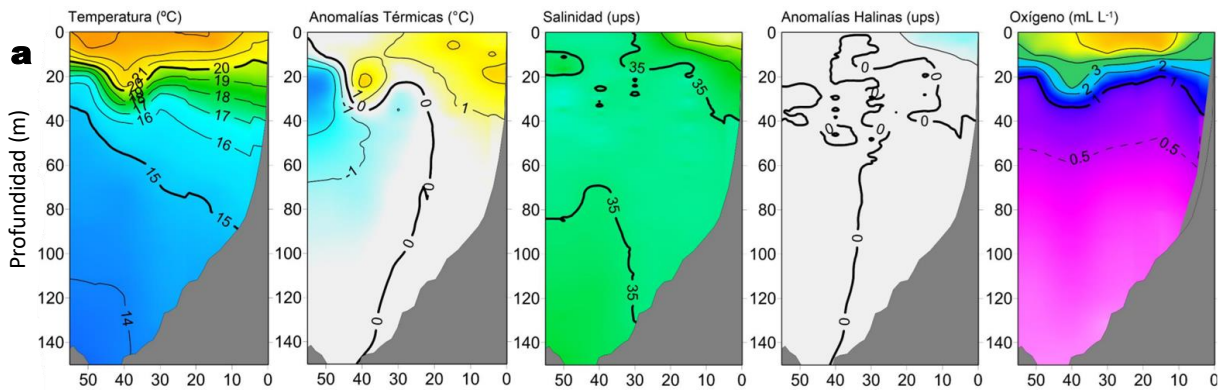
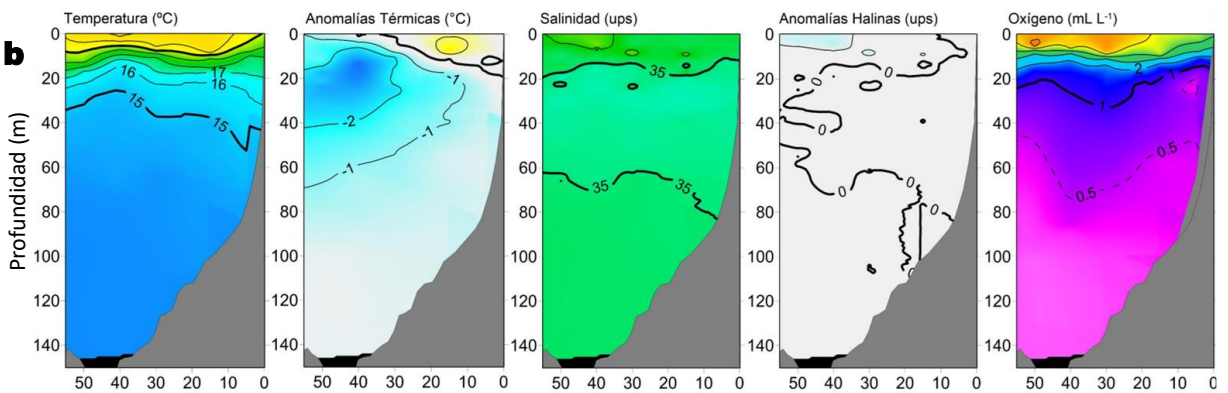


Figura 8. Diagrama superficial de la: a) Temperatura ($^\circ\text{C}$), b) anomalías térmicas ($^\circ\text{C}$), c) salinidad, d) anomalías halinas, e) oxígeno (ml/L) y f) anomalías del oxígeno (ml/L); registrados durante el Crucero de Seguimiento Larval desde Malabrigo hasta Chimbote entre el 11 y 14 de febrero (g), a bordo del BIC IMARPE V. Climatología: 1991-2020 (Domínguez et al (2023)).

Sección: Chicama (14 de febrero del 2026).



Sección: Salaverry (13 de febrero del 2026).



Sección: Chimbote (11-12 de febrero del 2026).

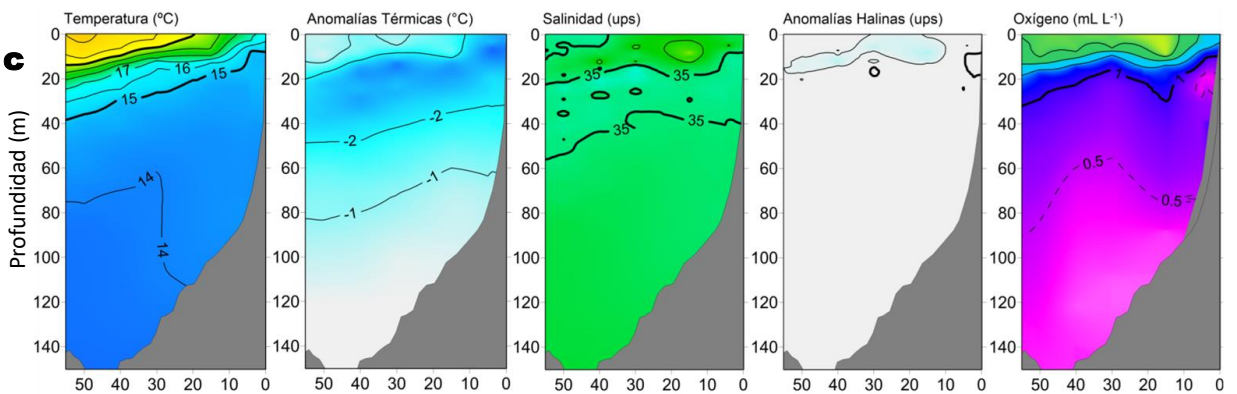


Figura 9. Estructura vertical de la: Temperatura (°C), anomalías térmicas (°C), salinidad, anomalías halinas y oxígeno (ml/L); registradas en las secciones oceanográficas de a) Chicama, b) Salaverry y c) Chimbote, durante el Crucero de Seguimiento Larval entre el 11 y 14 de febrero de 2026, a bordo del BIC IMARPE V. Climatología: 1991-2020 (Domínguez et al (2023)).

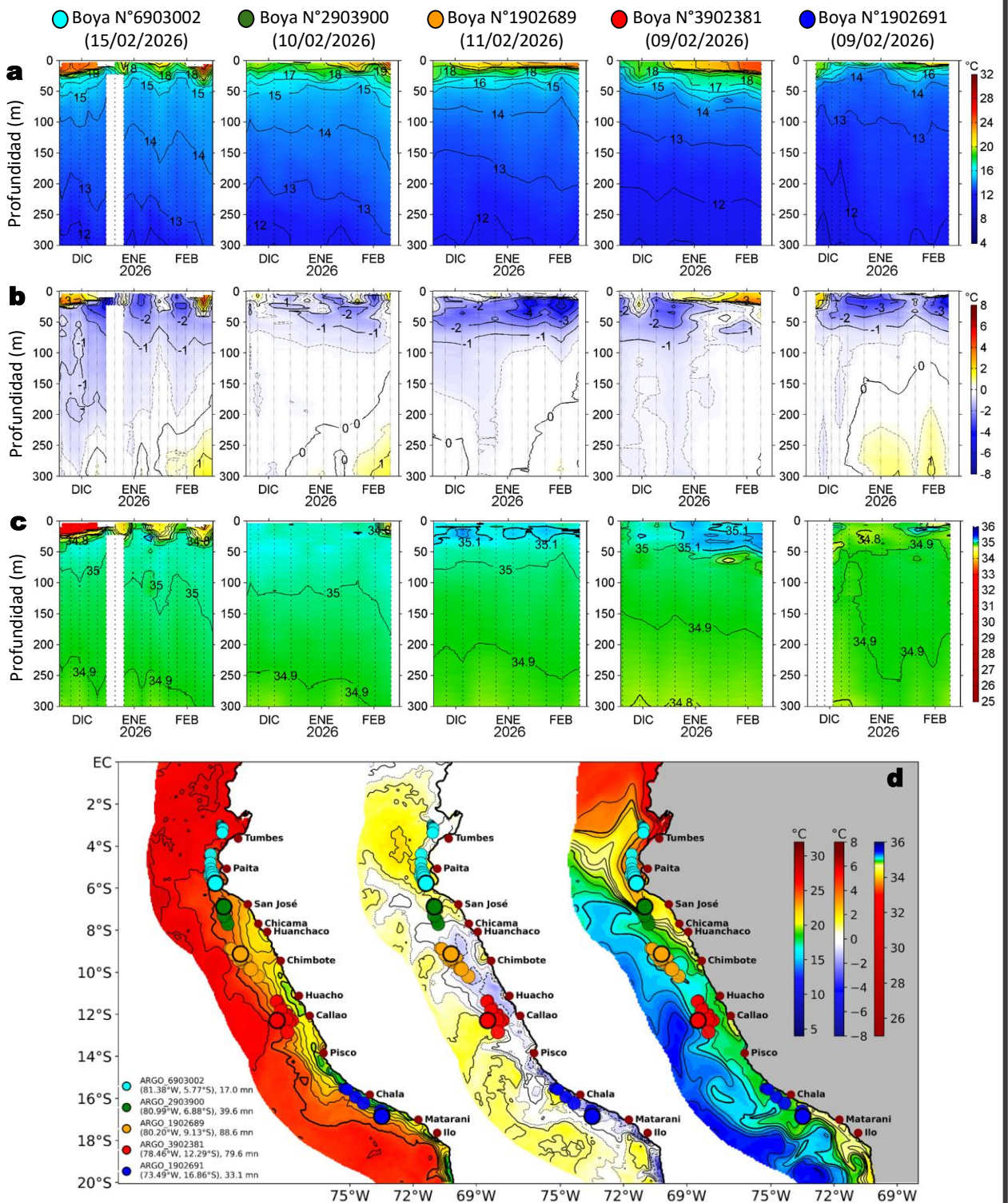


Figura 10. Diagrama Hovmöller de la: a) Temperatura del mar (°C), b) Anomalías térmicas (°C), c) Salinidad del mar registrados por los perfiladores ARGO frente a la costa peruana (d) durante los últimos 90 días. Los puntos en la columna de agua indican los días en que los perfiladores registraron información. Datos: ARGO. Climatología: 1991-2020 (Dominguez et al (2023)).

ASPECTOS BIOLÓGICO-PESQUEROS

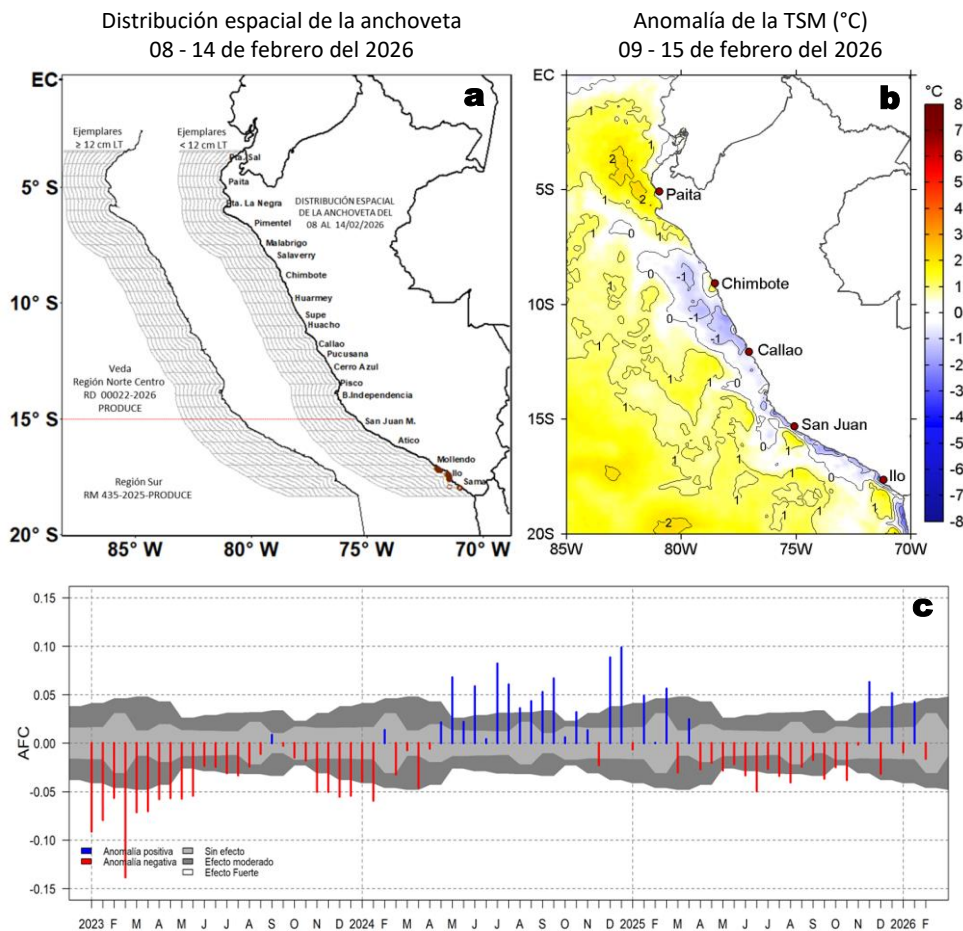


Figura 11. a) Distribución espacial de la anchoveta por región y su relación con b) las anomalías térmicas (°C) obtenidas del producto OSTIA-UKMO-L4-GLOB-v2.0; para la semana del 09 al 15 de febrero del 2026. c) Serie de tiempo de las Anomalías del índice del factor de condición (AFC) de la anchoveta peruana *Engraulis ringens* (Cuba et al., 2019) desde enero 2023 hasta febrero del 2026. Climatología: 1991-2020 (b).

PRONÓSTICO

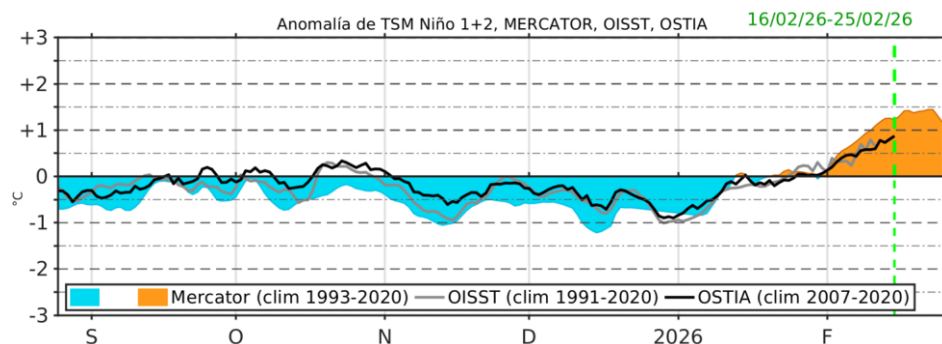


Figura 12. Series de tiempo de la anomalía de TSM diaria en la región Niño 1+2, obtenidas a partir del modelo MERCATOR (sombreado celeste y naranja), el producto OISST (línea gris) y el producto OSTIA (línea negra), a partir del promedio climatológico de 1993-2020, 1991-2020 y 2007-2020, respectivamente. La línea discontinua vertical de color verde indica la fecha de inicio del pronóstico de las anomalías de TSM según MERCATOR.



PERÚ

Ministerio
de la Producción



PREMIO 2018
BUENAS PRÁCTICAS
EN GESTIÓN PÚBLICA

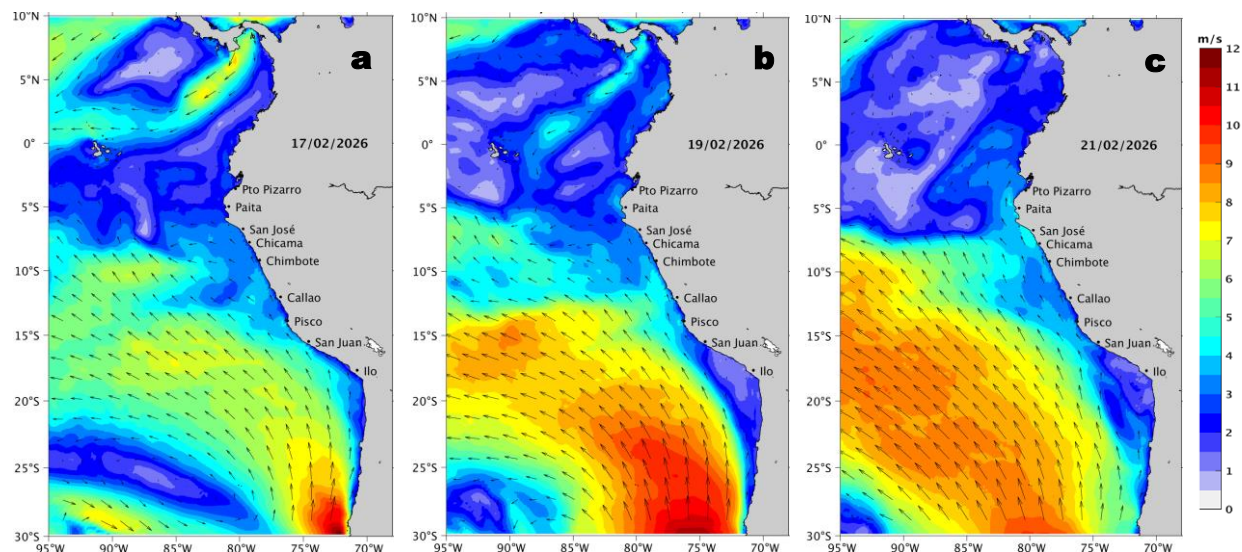


DGIOCC
Dirección General de Investigaciones
en Oceanografía y Cambio Climático



DGIRP
Dirección General de Investigaciones
de Recursos Pelágicos

Velocidad del Viento (VV, m/s) y Dirección del viento (DV, °)



Anomalía de la Velocidad del Viento (VV, m/s) y Dirección del viento (DV, °)

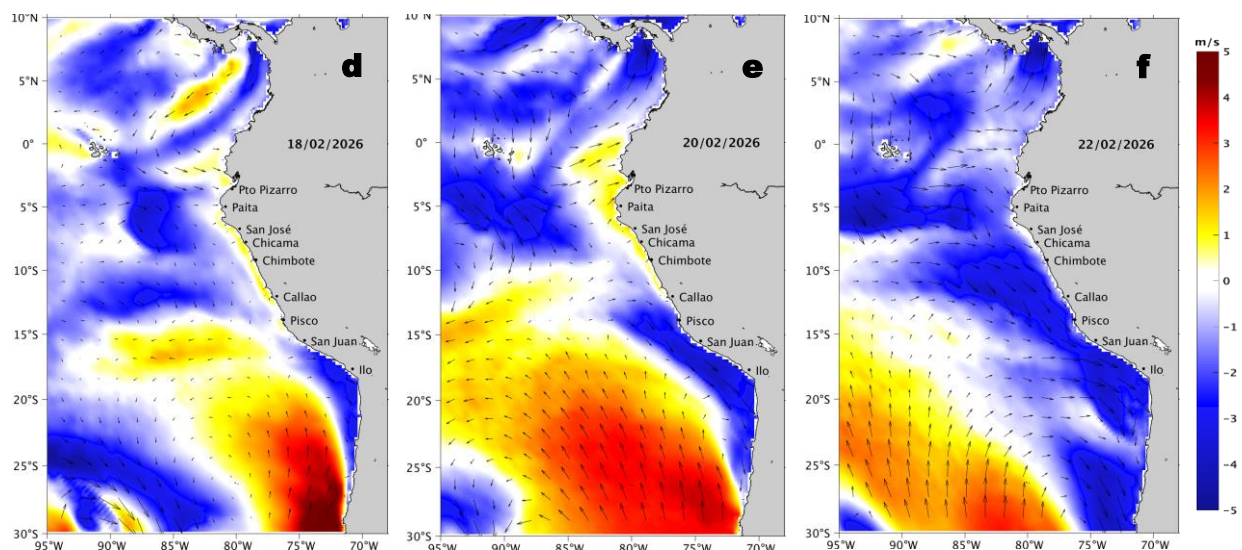


Figura 13. Distribución espacial del pronóstico de la velocidad del viento (VV, m/s) y dirección del viento (DV, °) para los días a) 17, b) 19 y c) 21 de febrero de 2026, así como para sus anomalías para los días a) 18, b) 20 y c) 22 de febrero de 2026, frente a la costa sudamericana entre Centroamérica y la costa norte de Chile. Fuente: Modelo Climate Forecast System (GFS) de la NOAA. Climatología: 2000-2020.

Escala de vientos: Vientos muy débiles (< 0,7 m/s), débiles (0,7 a 4,1 m/s), moderados (4,1 a 6,8 m/s), fuertes (6,8 a 10,4 m/s), muy fuertes (> 10,4 m/s); de acuerdo a Correa, Vásquez y Gutiérrez (2018).

Condiciones iniciales: 10 - 14 de febrero, 2026.

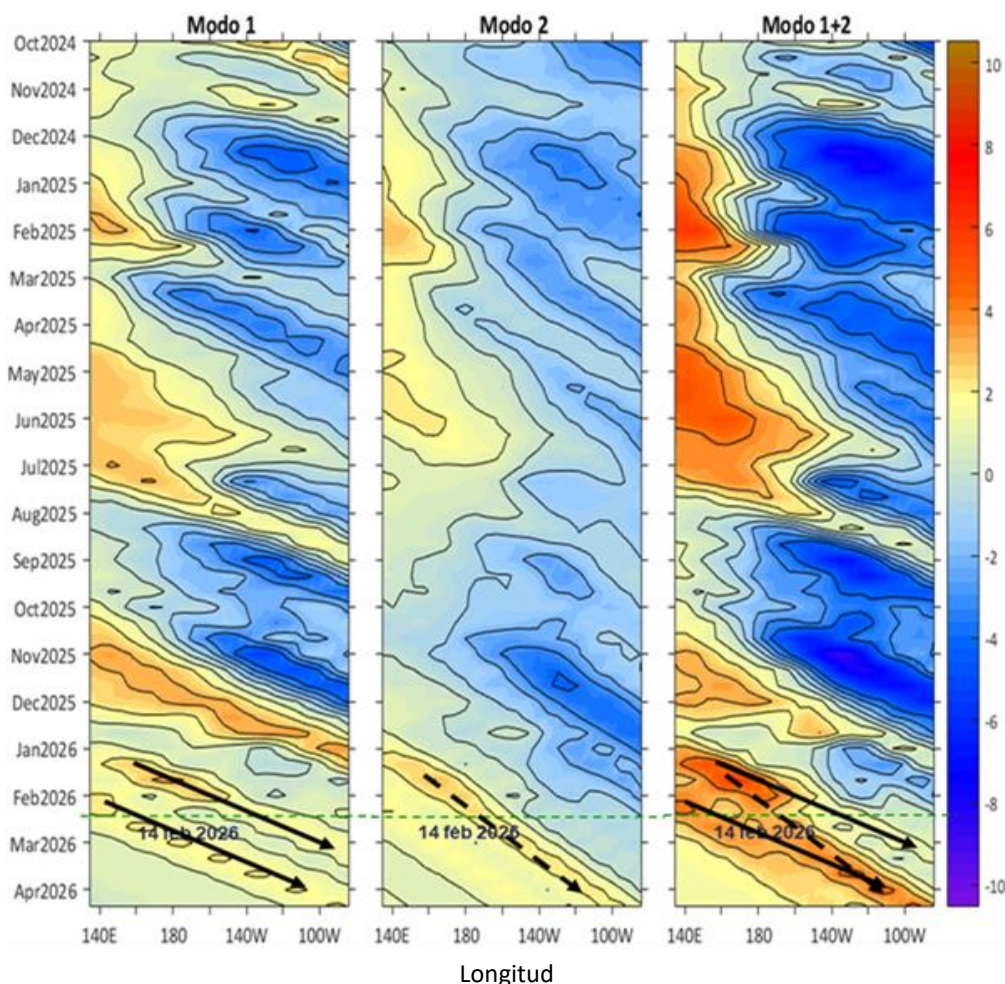


Figura 14. Diagramas Hovmöller longitud-tiempo de las ondas Kelvin ecuatoriales (OKE) en el océano Pacífico ecuatorial entre 130°E y 95°W y en la banda entre 1°N-1°S, forzado con anomalías del esfuerzo del viento (N/m^2) del NCEP (Kalnay et al., 1996) de acuerdo con la metodología de Illig et al. (2004) y Dewitte et al. (2002): a) Modo 1, b) Modo 2 y c) Modos 1+2. La línea discontinua horizontal de color verde indica la fecha del inicio del pronóstico con anomalías del esfuerzo del viento igual a cero. Los valores negativos corresponden a ondas Kelvin de afloramiento (frías) y están representadas por flechas discontinuas de color blanco. Los valores positivos corresponden a ondas Kelvin de hundimiento (cálidas) cuya propagación está representada por flechas de color negro sólido (modo 1) y discontinuo (modo 2). Datos del modelo: LMOECC/AFIOF/DGIOCC/IMARPE.

La última simulación del modelo de OK ecuatoriales implementado en el IMARPE, forzada con anomalías del esfuerzo del viento ecuatorial superficial obtenidas del NCEP al 14.02.2026, indica que las dos señales de la OK ecuatorial cálida (modo 1 y modo 2), mencionadas en el BS-OBP N° 03-2026, continúan propagándose hacia el este. Se prevé que la señal de modo 1 alcance el extremo oriental del Pacífico ecuatorial en marzo, mientras que la de modo 2 lo haría entre abril y mayo de 2026. Asimismo, la otra señal de la OK ecuatorial cálida (modo 1), mencionada en el boletín anterior, también continúa su propagación hacia el este y alcanzará el extremo oriental del Pacífico ecuatorial en abril de 2026.

REFERENCIAS

Correa, D.; Vásquez, L. y D. Gutiérrez (2018). Propuesta de escala de vientos para la zona costera y oceánica frente al Perú. Taller interno del IMARPE, 24 de septiembre de 2018.

Cuba, A., Sánchez, J., Mori, J., & Chávez, G. (2019). Anomalías de los índices reproductivos fracción desovante e índice gonadosomático de anchoveta peruana *Engraulis ringens* (Jenyns, 1842) del stock norte-centro del Perú en relación a El Niño Costero 2017. *The Biologist*, 17(2).

Dewitte B., D. Gushchina, Y. du Penhoat and S. Lakeev, 2002: On the importance of subsurface variability for ENSO simulation and prediction with intermediate coupled models of the Tropical Pacific: A case study for the 1997-1998 El Niño. *Geoph. Res. Lett.*, vol. 29, no. 14, 1666, 10.1029/2001GL014452.

Donlon, C. J, M. Martin, J. Stark, J. Roberts-Jones, E. Fiedler, W. Wimmer, 2012. The Operational Sea Surface Temperature and Sea Ice Analysis (OSTIA) system. *Remote Sen. Env.*, 116, 140-158.

ENFEN, 2024. Definición operacional de los eventos El Niño Costero y La Niña Costera en el Perú. Nota Técnica. <https://enfen.imarpe.gob.pe/download/nota-tecnica-enfen-01-2024-definicion-operacional-de-los-eventos-el-nino-costero-y-la-nina-costera-en-el-peru/?wpdmdl=1905&ind=1733921744133>

Hobday, A. J., Alexander, L. V., Perkins, S. E., Smale, D. A., Straub, S. C., Oliver, E. C. J., ... Wernberg, T. (2016). A hierarchical approach to defining marine heatwaves. *Progress in Oceanography*, 141, 227–238. doi:10.1016/j.pocean.2015.12.014

Illig, S., B. Dewitte, N. Ayoub, Y. du Penhoat, G. Reverdin, P. De Mey, F. Bonjean and G. S. E. Lagerloef, 2004: Interannual Long Equatorial Waves in the Tropical Atlantic from a High Resolution OGCM Experiment in 1981-2000, *Journal of Geophysical Research*, 109, C02022, doi:10.1029/2003jc001771.

Kalnay, E., M. Kanamitsu, R. Kistler, W. Collins, D. Deaven, L. Gandin, M. Iredell, S. Saha, G. White, J. Woollen, Y. Zhu, A. Leetmaa, B. Reynolds, M. Chelliah, W. Ebisuzaki, W. Higgins, J. Janowiak, K. Mo, C. Ropelewski, J. Wang, R. Jenne, and D. Joseph, 1996: The NCEP/NCAR 40-Year Reanalysis Project. *Bull. Amer. Meteor. Soc.*, 77, 437–471.

Kobayashi S, Ota Y, Harada Y, Ebata A, Moriya M, Onoda H, Onogi K, Kamahori H, Kobayashi C, Endo H, Miyaoka K, Takahashi K (2015) The JRA-55 reanalysis: general specifications and basic characteristics. *J Meteor Soc Jpn* 93: 5–48.

Lellouche, J.-M., Le Galloudec, O., Drévilion, M., Régnier, C., Greiner, E., Garric, G., Ferry, N., Desportes, C., Testut, C.-E., Bricaud, C., Bourdallé-Badie, R., Tranchant, B., Benkiran, M., Drillet, Y., Daudin, A., and De Nicola, C.: Evaluation of global monitoring and forecasting systems at Mercator Océan, *Ocean Sci.*, 9, 57-81, 2013.

Perea, A., B. Buitrón, J. Mori, J. Sánchez, C. Roque, 2015. Anomalías de los Índices reproductivos de anchoveta *Engraulis ringens* en relación al ambiente. En: *Boletín Trimestral Oceanográfico*, Volumen 1, Números 1-4, pp.: 27-28.

Pietri, A., Colas, F., Mogollon, R., J. Tam & D. Gutierrez. Marine heatwaves in the Humboldt current system: from 5-day localized warming to year-long El Niños. *Sci Rep* 11, 21172 (2021). <https://doi.org/10.1038/s41598-021-00340-4>

Quispe Ccallauri, C, J. Tam, H. Demarcq, C. Romero, D. Espinoza, A. Chamorro, J. Ramos, R. Oliveros, 2016. El Índice Térmico Costero Peruano. En: *Boletín Trimestral Oceanográfico*, Volumen 2, Número 1, pp: 7-11.

Quispe-Ccalluari C, Tam J, Arellano C, Chamorro A, Espinoza-Morriberón D, Romero C, Ramos J. 2015. Desarrollo y aplicación de índices y simulaciones para la vigilancia y el pronóstico a mediano plazo del impacto del ENOS frente a la costa peruana. *Inf. Inst. Mar Perú*, Vol. 44(1):28-34. <https://biblioimarpe.imarpe.gob.pe/handle/20.500.12958/3149>

Quispe, J. y L. Vásquez, 2015. Índice “LABCOS” para la caracterización de evento El Niño y La Niña frente a la costa del Perú, 1976-2015. En: *Boletín Trimestral Oceanográfico*, Volumen 1, Números 1-4, pp.: 14-18.



PERÚ

Ministerio
de la Producción



PREMIO 2018
BUENAS PRÁCTICAS
EN GESTIÓN PÚBLICA



RECONOCIMIENTOS

The Group for High Resolution Sea Surface Temperature (GHR SST) Multi-scale Ultra-high Resolution (MUR) Level 4 OSTIA Global Foundation Sea Surface Temperature Analysis (GDS version 2). Ver. 2.0 data were obtained from the NASA EOSDIS Physical Oceanography Distributed Active Archive Center (PO.DAAC) at the Jet Propulsion Laboratory, Pasadena, CA (<http://dx.doi.org/10.5067/GHGMR-4FJ01>).

The Ssalto/Duacs altimeter products were produced and distributed by the Copernicus Marine and Environment Monitoring Service (CMEMS) (<https://data.marine.copernicus.eu/products>).

The products from the MERCATOR OCEAN system distributed through the Marine Copernicus Service (<https://data.marine.copernicus.eu/products>).

The Pacific Islands Ocean Observing System (PacIOOS) is funded through the National Oceanic and Atmospheric Administration (NOAA) as a Regional Association within the U.S. Integrated Ocean Observing System (IOOS). PacIOOS is coordinated by the University of Hawaii School of Ocean and Earth Science and Technology (SOEST).

Las anomalías del índice de factor de condición fueron determinadas a partir de información brindada por el Laboratorio de Biología Reproductiva de la sede central de IMARPE.

Este boletín es una acción del Programa Presupuesto Por Resultados - PPR 068 El Niño "Reducción de Vulnerabilidad y Atención de Emergencias por Desastres" y su producto "Entidades Informadas en forma permanente y con pronósticos frente al Fenómeno El Niño" del IMARPE.

EQUIPO CIENTÍFICO

Dirección General de Investigaciones en Oceanografía y Cambio climático (DGIOCC):

Katherine Vásquez, Dimitri Gutierrez, Daniel Camarena, Tony Anculle, José Vílchez, Carlos Quispe, Daniel Quispe y Gustavo Orihuela.

Dirección General de Investigaciones de Recursos pelágicos (DGIRP):

Cecilia Roque, Dany Ulloa, Gabriela Cazoria y Cecilia Peña.

El Boletín Semanal Oceanográfico y Biológico-Pesquero (BS-OBP) presenta la evolución de variables físicas en el océano y la atmósfera, de la estructura físico-química del océano frente a la costa norte-centro del Perú en un contexto temporal de corto plazo y en un marco local-regional. El objetivo del BSOBP es comprender los efectos de la variabilidad de macroescala y regional de corto plazo en las condiciones oceanográficas y biológico-pesqueras del mar peruano. Esta información se sustenta en las redes observacionales in situ que administra el IMARPE y que se ha fortalecido en el marco del Programa Presupuesto Por Resultados - PPR 068 El Niño "Reducción de Vulnerabilidad y Atención de Emergencias por Desastres" y su producto "Entidades Informadas en forma permanente y con pronósticos frente al Fenómeno El Niño" del Estado Peruano. Asimismo, esta información local se complementa con un repertorio de productos satelitales y con mediciones directas de equipamiento de programas y proyectos internacionales con el fin de lograr un análisis integrado del estado del océano.

El BS-OBP, asimismo, pretende informar de forma oportuna y permanente sobre el estado del océano a diferentes grupos de interés y sociedad en general y contribuir a mejorar el conocimiento del mar peruano y coadyuvar a la gestión del riesgo de desastres del Estado Peruano.

IMARPE (2026). Boletín Semanal Oceanográfico y Biológico-Pesquero N°07-2026, 09 - 15 de febrero de 2026, Callao, Instituto del Mar del Perú. <https://siofen.imarpe.gob.pe/boletines-e-informes/BS-OBP>

Suscripciones: Complete [este formulario](#) o escriba al correo electrónico siofen@imarpe.gob.pe.

Consultas:

Servicio de Información Oceanográfica del Fenómeno El Niño, SIOFEN

Laboratorio de Hidrofísica Marina/AFIOF

Dirección General de Investigaciones Oceanográficas y Cambio Climático/Instituto del Mar del Perú

Esquina Gamarra y General Valle S/N, Chucuito, Callao - Perú. Teléfono: (51 1) 904 0137 (Extensión 824).

Foto en la portada: Mar peruano (©IMARPE)

© 2026 Instituto del Mar del Perú



IMARPE
INSTITUTO DEL MAR DEL PERÚ

SIOFEN SERVICIO DE INFORMACIÓN OCEANOGRÁFICA DEL FENÓMENO EL NIÑO



PERÚ

Ministerio
de la Producción



PREMIO 2018
BUENAS PRÁCTICAS
EN GESTIÓN PÚBLICA

